## Г. А. Гурзадян

# ОПЫТ ПОЛЯРИЗАЦИОННОЙ СПЕКТРОФОТОМЕТРИИ ТУМАННОСТИ ОРИОНА

## § 1. В В Е Д Е Н И Е

Знание оптических и физических свойств, размеров. форм и других характеристик пылевых частиц, входящих в состав газо-пылевых диффузных туманностей, представляет значительный интерес. Получить эти сведения на основании одних колориметрических измерений невозможно. Однако в комбинации последних с поляризационными исследованиями мы сможем получить определенное представление о природе космической пыли. В этом отношении особую ценность должны представить результаты поляризационной спектрофотометрии, дающей возможность определить степень поляризации света исследуемого объекта для различных воли. Зависит ли степень поляризации от длины волны или нет - оба результата будут одинаково интересными, так как каждый из них соответствует определенным физическим условиям. Поскольку эмиссионная составляющая излучения газо-пылевых туманностей и, в частности, эмиссионные линии не должны быть поляризованы, то поставленная выше задача должна относиться только к излучению туманности в непрерывном спектре.

Насколько нам известно, в литературе нет определенных данных о существовании какой-нибудь зависимости между степенью поляризации света туманностей и длиной волны. Имеющиеся данные говорят скорее всего об отсутствии такой зависимости. Однако здесь же надо отметить, что подобные задачи до сих пор пытались решить только с помощью фильтров, которые в силу ряда обстоятельств и, в частности, большой ширины полосы пропускания, могут дать лишь ограниченные результаты. Весьма существенное

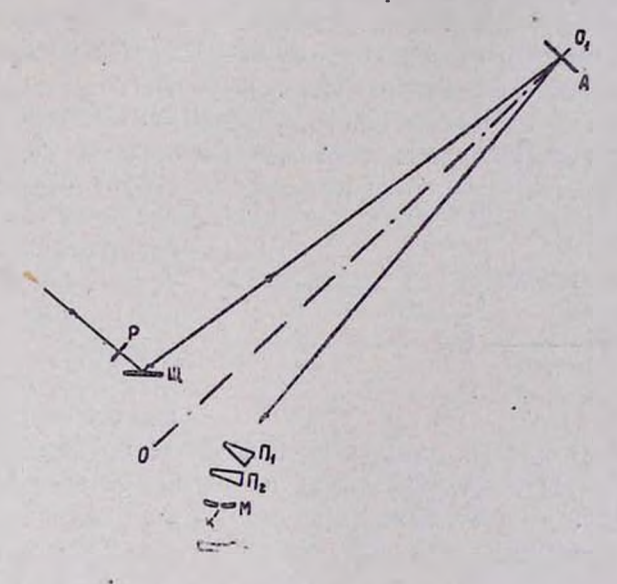
значение имеет также то обстоятельство, что в полосе пропускания фильтра могут оказаться также эмиссионные линии, доля которых в общем поличестве излучения различна в разных участиях спектра, и в силу этого результаты должны сильно искажаться.

Поставленную задачу лучие всего разрешить нутем анализа таких енектрограмм исследуемого объекта, или подучении которых свет пропускается через анализатор (поляронд). Здесь возвикает одно-весь за существенное затруднение, заключающееся в том, что всякий диспертирующий или дифрагирующий аппарат, каким является спектрограф. сим обладает некоторой йиструментальной поляризацией. Поэтому вознашает дополнительная задача разработки методов для учета глого эффекта. Само собов разумеется, что какими бы совершенными ин были эти методы, сам факт инструментальной поляризиции является нежелательным фак--рот си девисной эн эрени или лвт гэжом эн по и модот ность окончательных результатов. Тем не менее, небезынтересно будет попытаться применить спектрографы в сочетании с поляровлами для определения зависимости степени поляризации от длины волны, хотя бы для одной диффузной туманности. Нами предпринята такая попытка в отношении большой туманности Орнова. Поскольку эта попытка является первым опытом, следует полученные результаты счигать сугубо предварительными.

# § 2. АППАРАТУРА И МЕТОЛИКА НАВЛЮДЕНИЙ

Для решения поставленной задачи нами использован светосильный небулярный спектрограф Бюраканской астрофизической обсерватории. В качестве анализатора был использован герапатитовый поляроил, который в виде тонкой иленки вклеен между двумя стеклянными пластинками. Днаметр поляроила—150 мм. Исследование, проведенное в спектрофотометрической лаборатории Бюраканской обсерватории, показало хорошие качества поляроила. В частности степень поляризации света, пропущенного через этот поляроил, достаточно велика (порядка 29% для фотографических дучей).

Поляронд устанавливается с помощью специально построенного для этой цели интатива перед зеркальной щелью спектрографа, которая, как известно [1]. имеет большие размеры – длина около 850 мм, а ширина может быть регулирована по желанию (об этом речь будет идти ниже). Поляронд дожен быть наклонен в отношении плоскости щел и так, чтобы оп был перпендикулярен к падающему от исследуемого объекта свету. На рис. 1 изображена оптическая схема



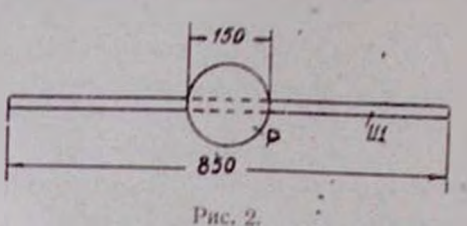
Piic. I.

всей установки. Здесь P — поляронд, III — щелевое зеркало, A — полярное зеркало,  $II_1$  и  $II_2$  — призмы (первая сделана из флинта, вторая — из крона), M — мениск, B — параболическое зеркало, B — кассетный трюм, D — полярная ось.

Поляронд может вращаться вокруг оси, перпендикулярной к его плоскости. В результате меняется направление вектора преимущественных колебаний. Позиционный угол этого направления отсчитывается на специальном лимбе. Кроме того, поляронд может перемещаться параллельно щели, тем самым пропуская свет то одной, то другой части туманности.

При таком расположении поляронда полученный слектр будет разделяться на три части, причем центральная часть, в виде узкой полосы, будет соответствовать лучам, прошедшим через поляронд и спектрограф, а крайние части — лучам, прошедшим только через спектрограф. Длине шели в 850 мм соответствует ширина спектрограммы на пластинке около 2,4 мм. Масштаб пластинки равен 22' на одном мм. При знаметре поляронда, равном 150 мм, ширина спектральной полосы, созданной излучением, прошедним через поляронд, получается равной около 0,30 мм, что более чем достаточно для пормального фотометрирования.

Общая схема извимного расположения поляронда и щели и горизонтальной проекции изображена на рис. 2.

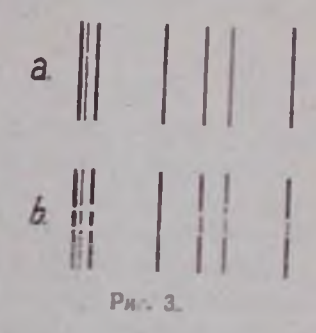


На рис. З изображен схематический вид спектрограмм, полученных без поляронла (а) и с поляронлом (b).

Для определения степени поляри-

нации в различных длинах воли необходимо получить серию спектрограмм, состоящую по крайней мере из трех

иластинок. Каждая иластинка (по одной спектрограмме) получается для определенного направления электрического вектора. В нашем случае эти направления отличаются друг от друга на 60. Поскольку эмпесионные линии не поляризованы, а непрерывный спектр поляризовай, то в илеальном случае, при осутствии инструментальной поляризации, почернения эмпесионных ли-



ний на всех трех пластинках при одинаковой экспозиции и одинаковых атмосферных условиях должны быть одинаковыми, а почернения непрерывного спектра — различными. Приняв

полную или центральную интенсивность какой-нибудь эмиссионной линии за стандарт (для данной пластинки) мы смогли бы исправить почернения непрерывного спектра в данной линии за эффект дифференциального атмосферного поглощения. После этого определение степени поляризации в любом участке непрерывного спектра уже не представляет труда. Но наличие инструментальной поляризации приводит к тому, что сама линия, служащая стандартом, оказывается поляризованной после прохождения всех элементов отражающей и диспергирующей системы. Это приводит к необходимости учета данного эффекта каким-нибудь способом. Ниже приводится описание этого способа.

Для большей ясности проанализируем процессы прохождения света через поляронд и отражение от щелевого зеркала. На рис. 4 приведена схема расположения поля-

роида (Р) и щелевого зеркала (III) и векторная диаграмма изучаемого явления.

Пусть интенсивность Ј падающего на поляроид Р света состонтиз двух компонентов — поляризованной  $J_{\rho}$  и неполяризованной  $J_{0}$ , т. е.:

Es Es Es

Piic. 4.

 $J=J_p+J_0.$ 

Амплитуды же колебаний соответствующих компонент обозначим через  $I_p$  и  $I_o$ . Положение вектора  $I_p$  на плоскости, перпендикулярной направлению луча и в отношении направления электрического вектора определяется углом  $\alpha$ . Наша задача заключается в определении величины  $I_p$ ,  $I_o$  и  $\alpha$  для различных длин волн, после чего — степень поляризапии  $\alpha$ :

$$p = \frac{J_p}{J_0 + J_p}$$
 (1)

Амилитуды полебаний компонент  $I_p$  и  $I_m$  после прохождения через поляронд, будут соответственно  $I_p$  сосz и  $I_0$   $\frac{1}{V2}$ .

Эти некторы составляют некоторый угол с направлением подення на цель. Обозначим этот угол через 3. Тогда амилитуды колебаний на плоскости падения  $E_p$  и перпендикулярно этой плоскости Е для компоненты  $1_p$  соответственно будут равны:

$$E_p = I_p \cos \alpha \cos \beta$$
,  $E_s = I_p \cos \alpha \sin \beta$ .

Аналогичным образом имеем для компоненты 10:

$$E_{p}^{*} = \frac{1}{V 2} \, I_{0} \cos \beta, \quad E_{s}^{*} = \frac{1}{V 2} \, I_{0} \sin \beta.$$

Компоненты векторов  $I_{\nu}$  и  $J_{\kappa}$  от щелевого зеркала отражаются в разных пропорциях. Они определяются соотношениями:

$$R_p = 1 R I_p \cos z \cos 3; R_s = -1 R I_p \cos z \sin 3 \frac{\cos (z - Z)}{\cos (z + Z)}$$
 (2)

для компоненты Л. н

$$R_{p} = \int R \frac{1}{V 2} I_{0} \cos \beta; \quad R_{s} = -\int R \frac{1}{V 2} I_{0} \sin \beta \frac{\cos (\phi - Z)}{\cos (\phi + Z)}$$
 (3)

для компоненты J. В этих выражениях R есть коэффициент отражения, который представляется через показатель преломления и и показатель поглощения к следующим образом:

$$R = \frac{n^2(1-x^2)+1-2n}{n^2(1+x^2)-1-2n}.$$
 (4)

ресть угол паления луча в отношении плоскости надения (т. е. угол между илоскостью поляризации и илоскостью паления). У комплекская величина, связанная с р и комплексной дивлектрической постоянной г соотношением:

$$\sin \chi = \frac{\sin \varphi}{1}$$
.

Таким образом, интенсивность отраженного от зеркала Щ света при данном положении поляроида будет:

$$F_{0} = J_{p} \cos^{2} \alpha \left[ \cos^{2} \beta + \sin^{2} \beta \frac{\cos^{2} (\alpha - \lambda)}{\cos^{2} (\alpha + \lambda)} \right] R + \frac{1}{2} J_{0} \left[ \cos^{2} \beta + \sin^{2} \beta \frac{\cos^{2} (\alpha - \lambda)}{\cos^{2} (\alpha + \lambda)} \right] R.$$
 5)

При повороте поляроида, например, на угол 60°, будем иметь:

$$F_{40} = J_{p} \cos^{2}(z+60) \left[ \cos^{2}(\beta+60) + \sin^{2}(\beta+60) \frac{\cos^{2}(\phi-X)}{\cos^{2}(\phi+X)} \right] R +$$

$$+ J_{0} \frac{1}{2} \left[ \cos^{2}(\beta+60) + \sin^{2}(\beta+60) \frac{\cos^{2}(\phi-X)}{\cos^{2}(\phi+X)} \right] R.$$
 (6)

Аналогичное выражение можно написать и для других положений поляронда.

Таким образом, интенсивность отраженного от щели Щ луча при положении поляронда, определяющимся углом 0, имеет вид:

$$F_0 = J_p \cos^2(\alpha + \theta) K(\beta + \theta, \varphi, X, R) + J_0 \frac{1}{2} K(\beta + \theta, \varphi, X, R).$$
 (7)

Затем луч падает на полярное зеркало А и отражается от него практически перпендикулярно (под углом 89° 40′), по уже с другим коэффициентом отражения  $R_t$ . Поэтому вид выражения (7) не будет меняться. Применяя эти рассуждения и в отношении двух призм, где происходит уже преломление с различными углами падения и выхода и с различными показателями преломления, будем иметь в итоге следующее выражение для интенсивности света, дошедшего до фотопластинки:

$$F_{\theta} = J_{p} \cos^{2}(\alpha + \theta) K_{\theta} + J_{0} \frac{1}{2} K_{\theta}$$
, (8)

где

$$K_{\theta} = K(\beta + \theta, \varphi, \varphi_1, \varphi_2, \ldots X, X_1, X_2 \ldots R, R_1, R_2 \ldots).$$
 (9)

Приняв К₀ известным, будем иметь для трех положений поляронда, соответствующих углам 0, равным 0°, 60° и 120°:

$$a = J_{p} K_{1} \cos^{3}\alpha + \frac{1}{2} K_{1} J_{0},$$

$$b = J_{p} K_{2} \cos^{3}(\alpha + 60) + \frac{1}{2} K_{2} J_{0},$$

$$c = J_{p} K_{3} \cos^{3}(\alpha + 120) + \frac{1}{2} K_{3} J_{6},$$
(10)

еде через a,  $K_1$ , b,  $K_2$ , c,  $K_3$  обозначены соответствующие величны  $I_0$  и  $K_3$  для углов  $\theta=0^\circ$ ,  $\theta=60^\circ$  и  $\theta=120^\circ$ .

Решия систему (10) относительно Јр., Ја и ж. найлем:

$$J_{p} = \frac{2}{3} \sqrt{\frac{a}{K_{1}} \left( \frac{a}{K_{1}} - \frac{b}{K_{2}} \right) + \frac{b}{K_{2}} \left( \frac{b}{K_{2}} - \frac{c}{K_{n}} \right) + \frac{c}{K_{n}} \left( \frac{c}{K_{n}} - \frac{a}{K_{1}} \right)};$$
(11)

$$J = J_p + J_n = \frac{1}{3} \left( \frac{\pi}{K_1} + \frac{b}{K_2} + \frac{c}{K_3} \right). \tag{12}$$

Для степени поляризации падающего на поляроил р света нмеем:

$$p = \frac{2\sqrt{\frac{a}{K_{1}}\left(\frac{a}{K_{1}} - \frac{b}{K_{2}}\right) + \frac{b}{K_{2}}\left(\frac{b}{K_{2}} - \frac{c}{K_{3}}\right) - \frac{c}{K_{3}}\left(\frac{c}{K_{3}} - \frac{a}{K_{1}}\right)}}{\frac{a}{K_{1}} + \frac{b}{K_{2}} + \frac{c}{K_{3}}}$$
(14)

Величины а, b, c для различных воли нам известны из измерения трех спектрограми. Что же касается величины  $K_1$ ,  $K_2$  и  $K_3$ , то они нам еще неизвестны и их необходимо определить каким-инбуль способом. О теоретическом способе их определения не может быть и речи, так как, помимо того, что этог путь весьма труден и практически почти неосуществим. в этом случае требуется знать величины всех коэффициентов отражения, преломления, главные углы падения з и главные взимуты отражения з и т. д. всех составных

частей оптической системы для различных длин волн. Не говоря уже о практической невозможности определения этих величин, укажем лишь на нецелесообразность такой попытки по той простой причине, что в реальных условиях эксплуатации анпаратуры эти величины сами могут изменяться с течением времени.

Выход можно найти следующим образом. Можно получить новую серию спектрограмм, также состоящую из трех пластинок, в условиях, совершенно тождественных с теми, когда были получены спектрограммы исследуемого объекта, но теперь от другого источника света, в отношении которого нам точно известно, что он не поляризован. В качестве такого источника можно взять, например, какуюнибудь яркую звезду, свет от которой не обнаруживает поляризации и которая имеет зенитное расстояние, равное или мало отличающееся от зенитного расстояния исследуемого объекта. Эгот способ представляет некоторое неудобство в практическом отношении, так как, помимо того, что не всегла можно найти звезду, удовлетворяющую поставленным условиям, он требует много времени. Гораздо удобнее использовать искусственный источник неполяризованного света, установленный неподвижно на высоте исследуемого объекта.

Итак, пропустив через аппаратуру неполяризованный свет, мы получим при одинаковых условиях экспозиции разные интенсивности на пластинке ао, во, со, причем разницы в этом случае возникают только по причине инструментальной поляризации. Тогда легко найдем из (10), подставляя  $J_p=0$ ,

$$\frac{a_0}{K_1} = \frac{b_0}{K_2} = \frac{c_0}{K_3} = \frac{J_0}{2} = \text{const.}$$
 (15)

Подставляя отсюда значения  $K_1$ ,  $K_2$  и  $K_3$  в (14), (12) и (13), получим окончательно для определения степени и направления поляризации, а также для полной интенсивности падающего из исследуемого объекта света, следующие выражения:

$$p = \frac{2\sqrt{\frac{a}{a_0}(\frac{a}{a_0} - \frac{b}{b_0}) + \frac{b}{b_0}(\frac{b}{b_0} - \frac{c}{c_0}) + \frac{c}{c_0}(\frac{c}{c_0} - \frac{a}{a_0})}{\frac{a}{a_0} + \frac{b}{b_0} + \frac{c}{c_0}}}$$
(16)

$$tg2 \alpha = \sqrt{3} \frac{\frac{b}{b_0} - \frac{c_0}{c_0}}{\frac{b}{b_0} + \frac{c}{c_0} - 2\frac{a}{a_0}}.$$
 (17)

$$J = \frac{1}{3} \left( \frac{a}{a_0} + \frac{b}{b_0} + \frac{c}{c_0} \right). \tag{18}$$

### 8 A DECTPYMENTARIBHAR HOUSPITSAILIS

Кик мы видели, в описанном выше методе исслелования не требуется знание абсолютной величины инструментальной поляризации для различных воли. Тем не менее. изучение поляризационных свойств исбулярного спектрографа представляет самостоятельный интерес, ноэтому и следует специально изучить этот вопрос. Это тем более пеобхолимо сделить, носкольку, кик выяснилось впоследствии (к сожалению довольно поздно - после получених серии снижов спектра туманности Ориона с полярондом), эти свойства подвергаются изменению с течением временя в заявляюсти от многочислениях, порою не подлающихся учету, причин, както: изменение температуры и влажности воздуха, степень запыленности оптики и т. д. Условии, в которых работает наш небулярный спектрограф, в последнем отношении особенно неблагоприятим. Все это вызывает наменение физико-химического характера в тонких пленках, покрывающих зеркала, призмы и прочее, которое в свою очерель вызывает изженение оптических констант отдельных элементов системы. Если к этому прибавить еще, что эти изменения происходят для всех воли в неодинаковой степени, то необходимость изучения поляризационных свойств нашего инструмента становится более чем понятной.

Ю. Н. Липским разработаны методы исследования поляризационных свойств спектрографов с помощью двух и

Таблица 1

трех полярондов [2, 3]. Эти методы позволяют решить твкже задачу об определении истинного распределения энергии в спектре исследуемого источника поляризованного света. Поскольку мы ставим целью определить только поляризационные свойства спектрографа, то для этого достаточно воспользонаться одним полярондом и искусственным источником неполяризованного света.

Искусственный источник неполяризованного света в нашем случае представляет собой ящик с длинной щелью, шириной около двух сантиметров, экранированной двумя слоями матового стекла. В ящике имеются две электрические лампы, питаемые от общей сети через стабилизатор папряжения. Постоянство накала контролируется амперметром. С помощью фотоэлемента и гальванометра проверяется практическое отсутствие поляризации вышедшего в нормальном направлении из матовых стекол света.

Посте получения ряда пробных серий на разных пластинках, чувствительных к фотографическим лучам, и при разных режимах работы, в разное время осенью 1955 г. были сняты четыре рабочие серии, вплоть до периода ухудшения атмосферных условий и появления снега. В табл. 1 приведены даты получения этих серий и сорт использованных пластинок.

 1 Серия
 9—10/XI
 1955
 Agfa Photo

 Ii
 7—8/XII
 1955
 Kodak

 III
 8—9/XII
 1955
 Kodak

 IV
 13—14/XII
 1955
 Ilford Zenith

Каждая серия состоит из 10—15 спектрограмм (в среднем 3—5 спектрограмм для каждого положения поляронда), полученных с экспозициями от 20 сек. до 1 мин. Особое внимание было уделено соблюдению равных экспозиций в пределах данной серии. На каждой пластинке были одновременно получены шкалы длин волн (ртутная лампа). Стандартизация пластинок осуществлялась с помощью маленького трубочного фотометра, работающего в сочетании с синим фильтром.

Намерения спектрограмм производились на первом сяморегистрирующем микрофотометре Бюраканской обсёрватории [4]. Была использована визуальная система получения отсчетов этого микрофотометра. Измерения интенсивностей непрерывного спектра производились через каждые 0,4 мм. Всего было измерено 10 точек на каждой спектрограмме. В результите этих измерений мы нашли величины а,, b, c, которые представляют собой интенсивности непрерывного спектра в произвольных единицах в двиной волие при трех положениях поляронда.

На четырех полученных серий вторая оказалась передержанной. Остальные были обработаны. На рис. 5 для иллюстрации приведены кривые распределения энергии в произвольных единицах в непрерывном спектре искусственного источника, т. е. шачения  $a_a$ ,  $b_a$ ,  $c_a$ для трех положений поляронда (b=0, b=60, b=120). Внутренний разброс точен вокруг средней кривой распределения энергии при каждом положении поляронда, как видно из этих кривых, невелии.

Интенсивность палающего неполяризованного света от искусственного источника постоянна при всех положениях поляронда. После прохождения через поляронд и спектрограф эти интенсивности оказались разными. Представим величину окончательной интенсивности формулой:

$$I = A + B\cos 2(\theta - \theta_0), \tag{19}$$

где A и В постоянные, а % можно назвать азимутом результирующего колебания электрического вектора системы.

Имеем из (19) для трех положений поляронда:

$$a_{o} = A + B\cos 2 \theta_{o},$$

$$b_{o} = A + B\cos 2(60 - \theta_{o}),$$

$$c_{o} = A + B\cos 2(120 - \theta_{o}),$$
(20)

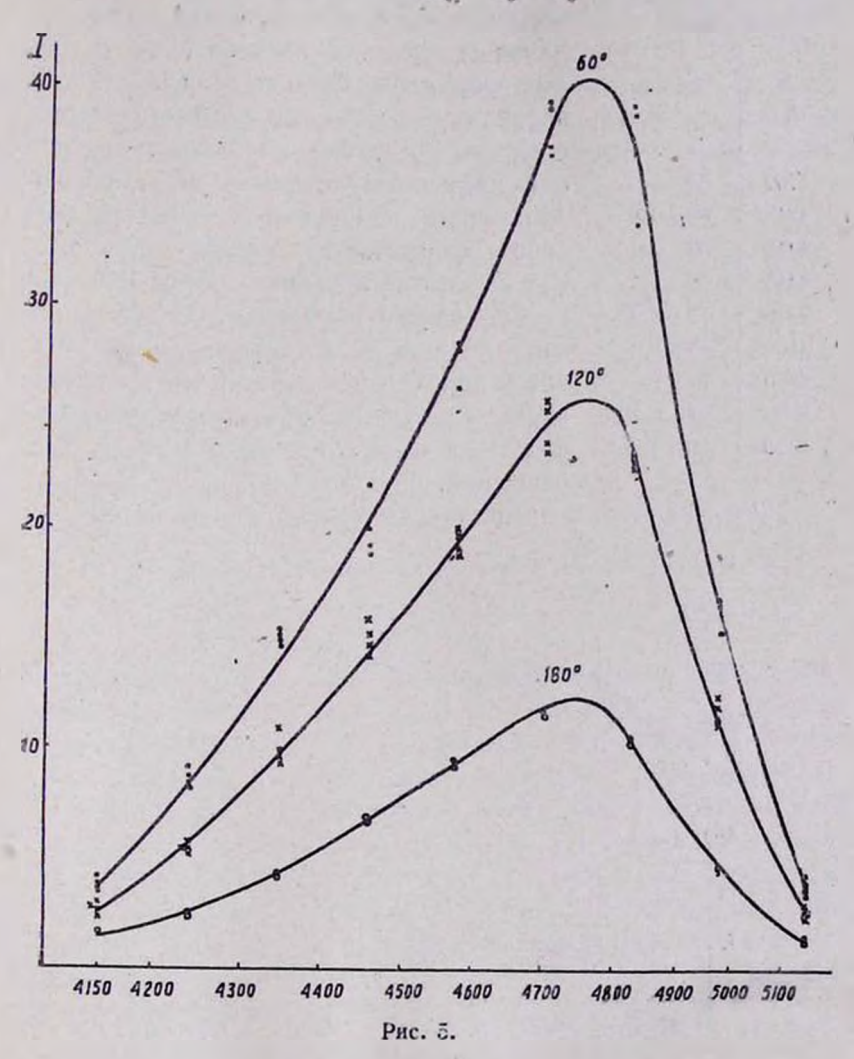
Решая эту систему относительно A, B и b и нмея в виду, что степень поляризации р равна:

$$p = \frac{I_{\theta_n} - I_{\theta_n + 90}}{I_{\theta_n} + I_{\theta_n + 90}}.$$
 (21)

найдем

$$p = \frac{2 \sqrt{a_0(a_0 - b_0) + b_0(b_0 - c_0) + c_0(c_0 - a_0)}}{a_0 + b_0 + c_0}, \quad (22)$$

$$tg 2 \alpha_0 = \sqrt{3} \frac{b_0 - c_0}{2a_0 - b_0 - c_0}.$$
 (23)

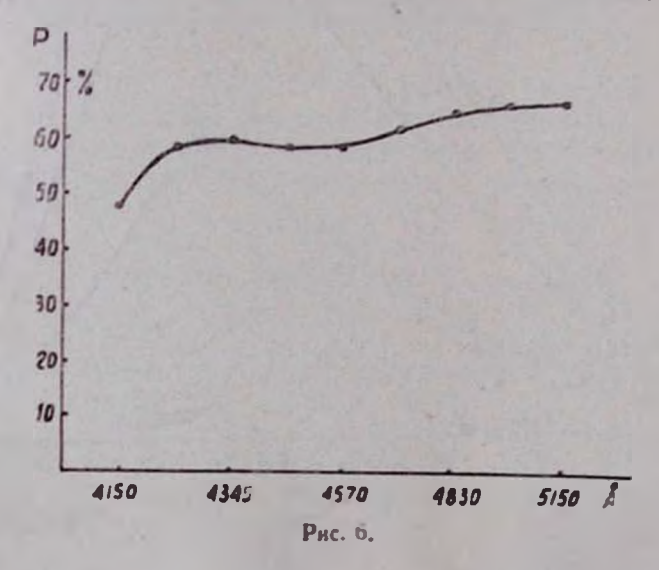


Степень инструментальной поляризации, вычисленная с номощью формулы (22) для разных длин воли, представлена в табл. 2 (1 серия). Там же приведены предельные абсолютные опнибки  $\Delta p$ , вычисленные с номощью соответствующей формулы на основе значений опнибок величии а, b и с,

<i>Таблица</i> 1 серия	
Ā	p <u>Δ</u> <b>p</b>
4150	47 ± 1 . 3
4240	58 0.8
4345	-39 - 0.9
4145	$59 \pm 1.4$
4570	57 + 1.3
1700	62 1,2
IN O	61-1.3
1980	65 2.2
5150	66.0,4

которые в свою очередь найдены из отклопений отдельных значений этих ведичин от средних значений, по обычным формулам. Судя по ланиым табл. 2, предельные опибки Др арифметического среднего р довольно малые. Однако они характеризуют лишь внутреннюю сходимость измерений и представляют собой формальные оценки точности. Кроме того, средняя квадратическая ошибка одного измерения, которая, по нашему мнению, и характеризует точность определения степени поляризации света исследуемого объекта, когда имеется только одна единственная серия наблюдений, порядка 4-5%.

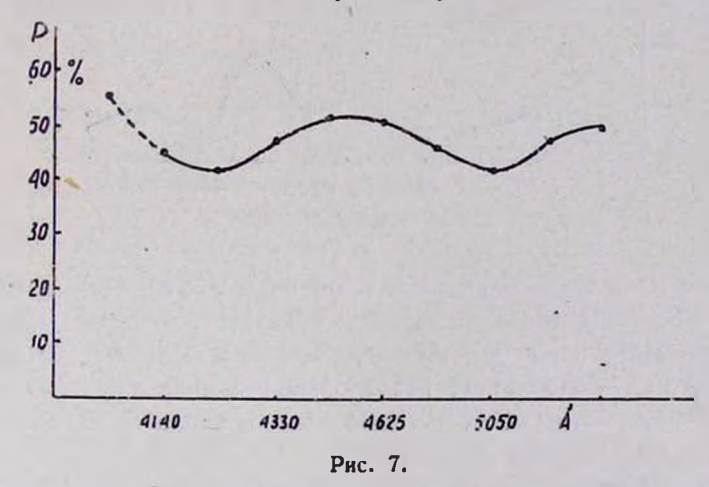
Данные габл. 2 представлены в виде кривой на рис. 6.



Как видно из этих данных, инструментальная поляризация довольно высока (для рассматриваемого интервала длин волн), около 60°/<sub>0</sub>, и медленио возрастает с увеличением длин воли.

Приведенные результаты соответствуют состоянию спектрографа 9—10/XI—1955 г. (I серия). Через месяц после получения I серии была получена III серия спектрограмы (8—9/XII—1955 г.).

Мы вычисляли инструментальную поляризацию спектрографа и для этого периода. Результаты представлены на рис. 7. Сравнивая это с рис. 6, убеждаемся, что за этот

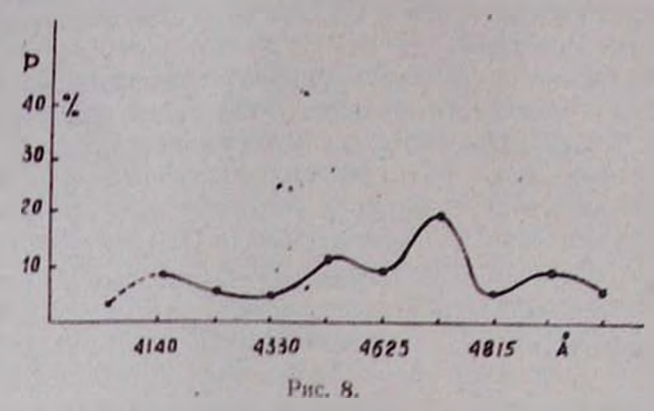


период произошло некоторое изменение в поляризационных свойствах спектрографа: степень поляризации в среднем уменьшилась на  $10-15^{\circ}/_{\circ}$  и оказалась порядка  $45^{\circ}/_{\circ}$ . Характер зависимости р от к претерпел незначительное изменение.

Но вызывает удивление полученная через несколько дней (13—14/XII—1955) новая поляризационная кривая (IV—серия). Эта кривая представлена на рис. 8. Степень инструментальной поляризации уменьшилась за несколько дней более чем на 30°/о. Заметно также некоторое изменение в характере поляризационной кривой\*. Следует отметить, что за этот

<sup>\*</sup> Следует указать, что предельная абсолютная ошибка измерения Др в III и IV сериях оказалась значительно больше, чем в I серия.

период произопіло заметное изменение погоды— выпал сиет и повысилась влажность воздуха. Повидимому это и вызвало существенное изменение в оптических свойствах тонких иленок оптики, а также оседвющей на них ныли. Возможность изменения поляризационных свойств спектрографов с течением времени отмечается также Ю. Н. Липским [2].



Тем не менее, такое сильное изменение в такой короткий срок следует считать не вполие понятимы, а установление самого факта недостаточно убедительным. Весьма желательно поэтому продолжение исследований в этом направлении.

Основные выволы, которые можно сделать из приведенных результатов, следующие:

- а) поляризационные свойства небулярного спектрографа не одинаковы для разных длин воли и могут меняться с течением времени;
- б) при исследовании поляризации непрерывного спектра туманности или других объектов необходимо учитывать поляризационные свойства спектрографа, соответствующие данной почи. Ниаче говоря, наряду со стандартами, которые обычно получают при спектрофотометрических работах для учета дифференциальных эффектов поглощения атмосферы и оптики, чувствительности фотопластинки и т. д., необходимо также получить "поляризационные" стандарты от источника неполяризованного света;

в) при исследовании распределения энергии в непрерывном спектре туманностей, свет которых мог быть поляризованным (а также других объектов), необходимо учесть, в согласии с [2, 3], дифференциальный эффект инструментальной поляризации для различных длин воли. В свете этого заключения, между прочим, становятся до некоторой степени понятными расхождения, которые обнаруживаются в результатах измерений распределения энергии в непрерывном спектре туманности Ориона, полученных Гринштейном и Хиней, Домбровским и нами [1]. Указанное расхождение отчасти следует объяснить тем, что во всех трех работах не было учтено влияние дифференциального эффекта инструментальной поляризации.

#### § 4. РЕЗУЛЬТАТЫ НАБЛЮДЕНИЙ

Нами получены три серии спектрограмм с поляроидом для туманности Ориона, одна на пластинке Ilford Zenith осенью 1954 г. (шесть спектрограмм), II и III— на пластинке Кодак осенью 1955 г. (шесть и четыре спектрограмм). При I серии снималась область туманности, находящаяся около Трапеции, при II и III— область, приблизительно 10' западнее от Трапеции. Экспозиция для всех пластинок (за некогорым исключением)— 2 час. 30 мин. К сожалению, при отличных качествах спектрограмм III серии, их не удалось использовать из-за смещения призмы спектрографа во время фотографирования туманности при одном положении поляроида.

При наличии поляризационных стандартов остальные две серии следовало бы обрабатывать следующим образом.

После получения записей спектрограмм на саморегистрирующей системе универсального микрофотометра определяются интенсивности непрерывного спектра в произвольных единицах в определенных, заранее зафиксированных длинах волн. Здесь возникает одно весьма существенное затруднение, заключающееся в том, что каждая спектрограмма данной серин получена в разные ночи, в разных условиях и поэтому нельзя будет их обрабатывать совместно, без учета дифференциального эффекта атмосферного поглощения. При-

вязка обычным способом (с каким-вибудь пебесным источинком света) в данном случае неприемлема. Выход можно найти следующим образом. Как было упомянуто выше, эмиссионные линин в спектре туманности пеноляризованы. Тогда мы можем одну из этих ливий (например ее "высоту", т. с. невтральную интенсивность) использовать в качестве эталона. Теперь, достаточно вычислить питенсивность вепрерывного спектов на некоторой длине волим по отношению в центральной интенсивности, находящейся на той же спектрограмме накойвибуль эмиссионной линии (например линия Н3), этим фиктически исключая дифференционный эффект атмосферного поглощения. Точность, этого способа, очевидно, зависит от того, насколько точно зафиксирована при автоматической записи высота эталонной лиши. Для обеспечения необходимой точности достаточно удовлетворить двум условиям; а) выбрать возможно меньшую скорость записи и б) сделать возможно меньшей ширину щели микрофотометра и большей ширину щели спектрографа. В течение всего периола проведения этой работы эти условия были соблюдены".

Указанным способом мы определили величины а, b и с, т. е, интенсивности в данной волне, соответствующие трем положениям поляронда (отличающимся друг от друга на 60). Измерением на тех же длинах воли поляризационных стандаргов мы будем иметь величины а, b, с, после чего можно приступить к вычислению степени поляризации с помощью формулы (16).

Однако, как уже было указано выше, поляризационные стандарты в ночь получения основных спектров не были сняты, поэтому полученные нами спектрограммы не могут быть обработаны разработанным в § 2 методом. Однако, поскольку нашей целью является не определение абсолютного значения степсии поляризации в данной волие, а определение зависимости степени поляризации от длины волиы. 10 мы можем поставить задачу определения дифферициаль-

Например, ширину щели спектрографа мы брали равной 60 мм, что дало для толщины динии на спектрограмие значение, равное окедо 0,2 мм.

ной поляризации по отношению какой-нибудь длины волны. Решение этой задачи становится возможным благодаря тому обстоятельству, что инструментальная поляризация, хотя и изменяется со временем, но сама зависимость инструментальной поляризации от длины волны, как это видно из рис. 8. выражена относительно слабо, по крайней мере, в рассмотренном нами днапазоне длин воли (м. 4861—4100 Å) и для начальных дней ноября, т. е. для периода, приблизительно совнадающего с периодом получения второй серии основных спектрограмм (вторая половина ноября).

Таким образом, приняв степень инструментальной поляризации постоянной для указанного интервала длин воли,
мы можем определить дифференциальную поляризацию непрерывного спектра исследуемого нами объекта, исхоля
только из наблюдаемого распределения энергии в непрерывном спектре, т. е. фактически из градиентов непрерывного спектра. Если эти градиенты при трех положениях
поляронда окажутся одинаковыми, то дифференциальная
поляризация будет равна нулю, и, наоборот, при несовпадении этих градиентов друг с другом, будем иметь некоторую дифференциальную поляризацию.

На рис. 9 приведены кривые а, b, с распределения непрерывного спектра туманности Ориона в произвольных единицах, соответствующие трем положениям поляронда (60°, 120 и 180°; угол, равный нулю, соответствует направлению электрического вектора поляронда по линии Восток-Запад). Чтобы убедиться в том, отличаются ли градиенты этих трех кривых друг от друга, достаточно эти кривые переместить параллельно до пересечения их в одной точке. Полученный результат представлен на нижней части рис. 9; кривые не совпадают, следовательно дифференциальная поляризация существует. Однако конкретные вычисления показывают (см. табл. 3), что дифференциальная поляризация в отношеини длин воли  $\lambda = 4861 \, A$  едва составляет несколько процентов, что находится в пределах ошибок измерения. Аналогичный результат получается и при обработке первой серии спектрограмы. Отсюда сделаем вывод: степень поляризвидии непрерывного спектря диффузиой туманности Орнона в интервале AA-4861—4100 A повидимому не зависит от длины волны.

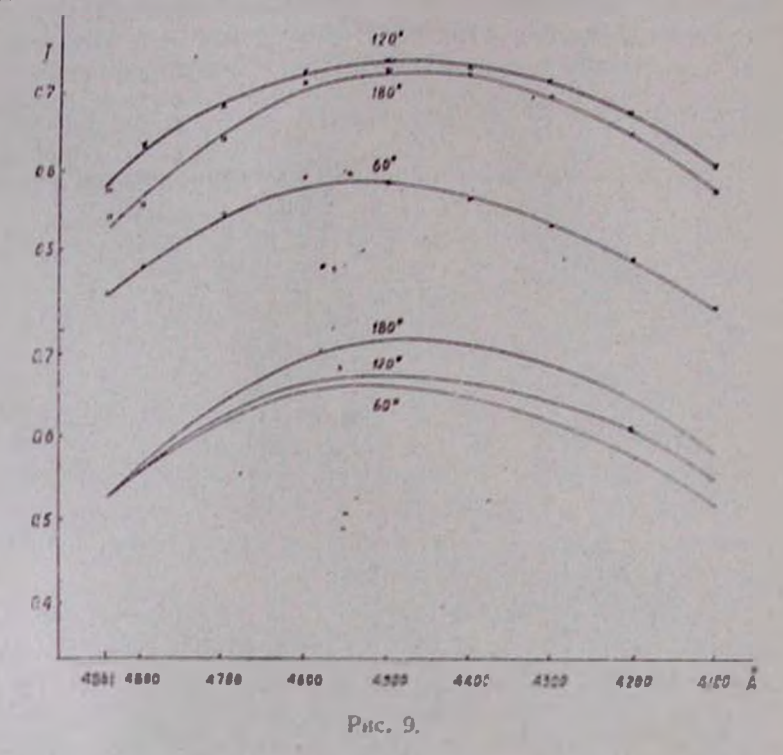


Таблица 3

| 4861 | 4840 | 4700 | 4400 | 4400 | 4300 | 4260 | 4100

| 497 | 0 | 1 | 2 | 4 | 5 | 6 | 6,5 | 6,5 | 6,5

Приведенные в последнем параграфе результаты, как оговорено в первом параграфе, следует считать предварительными, поскольку предпринятый нами опыт является первым. Мы надеемся продолжить исследования в этом направлении с несколько улучшенной методикой. В частности.

представляет интерес проведение поляризационных исследований туманности Ориона с установкой поляронда не перед зеркальной щелью, а перед камерой спектрографа. Этим можно достигнуть увеличения снимаемой через поляронд области туманности более чем в пять раз.

Январь, 1956.

# Գ. Ա. ԴՈՒՐՉԱԴՑԱՆ

## ՓՈՐՉ՝ ՕՐԻՈՆԻ ՄԻԳԱՄԱԾՈԾԱԾԱՆ ԲԵՎԵՌԱՉԱՓԱԿԱՆ ՎԵԱՎՂՏԺԾՈՏՈՇՈՇՈՐԵՏԻՍ

### Udhnhned

վոտաչըն ը ջինու

դիֆերերը իր և ևրատարելում արած է բանի ասովի։

սարկանորի որերատարելում արած է բանի ասովի։

սարկանորի որերատարեսում կանութ երակաց արանության արարկանության արարկանում է արարկանության արարկանում է արարկանում է արարկանության արարկանում է արարկանում է արարկանում և արարարկանում է արարկանում և արևանանում և արևանանանում և արևանանանանանում և արևանանանում և արևանանանանանանանանում և արևանանանում և արևանանանանանանանանանանանանանանում և արևանանանանանանանանան

Դործիքային բևևռացման հնարավոր չեզոքայման և էքըսպերիմենտալ սխալների նվաղեցման նպատակով, որոշված է

Օրիոնի ժիգումածության անընդհատ սպեկարի ոչ Ht բացարձակ, այլ հարարերական (գիֆերենցիալ) թենսացումը։ Դիտոambant time block dlap frombate of gudine of plante to themberry merդրունքի, երև բացունենը բևևսացվուն աստինանը անցնայնատ սանկարի և 4800 Å ախրույթի համար հավասար դերոյի, ապա hopeningly during ( of high 1 4100 A) blumplant to planning into mampanish suspin and of parish mulgary surpers, upp quindent ! suched wite a pounted whep he would which presed, neamle Opposite of by and weunglehmple ment play bear See H Just րևևսացման աստիճանը is 4800-4160 A summy money further to progressly smoonments to withoute out from the hiphoponet jour left

### JHIEPATYPA

1. Г. А. Гурмания, Сообщения Бюраканской встрофиз. обсерв., XVI, 1955.

2. Ю. И. Липекий, Астр. ширкуляр, № 115, 9, 1954; № 163, 29, 1955.

3. 10. 11. Junekuli, Beetnek MIY, No 2, 41, 1954; M 9, 41, 1955. 4. Г. А. Гурманя, Сообщения Бираканской астрофиз. обсерв.

XIV, 1955.

